

九州大学 工学部 正会員 吉村 康藏  
 " " 学生員 ○長尾 勝俊

## まえがき

大スパン、小スパンのランガーブリッジについて、その振動モードを比較すると、逆対称モードは同じで対称モードはかなりよく似ており、また各次の固有振動数比も、ほぼ一定（表-1参照）といふことから、ランガーブリッジの第一次固有周期の $\frac{1}{2}$ と荷重が橋を通過するのに要する時間との比をパラメータ $\left[\left(\frac{\pi}{2}\right)/\left(\frac{1}{2}T_1\right)\right]$ つまり、こ $\therefore$ こでは $(\omega/\omega_1)$ におき走行力によるたわみの応答倍率について検討した結果を報告する。

## 運動方程式

図-1に示すように $x=x_i$ なる位置に初速度 $v_0$ の一走行速度で、一定力 $P_0$ が移動する時の運動方程式は式(1)のように表わされる。

$$\ddot{x}_m + \omega_m^2 \bar{w}_m = \text{重}_m (x=x_i) \cdot \text{重}_m (x=\pi/2) \cdot P_0 \quad \cdots \cdots \cdots (1)$$

ただし $\omega_m$ :  $m$ 次の固有振動数、 $\text{重}_m(x)$ :  $m$ 次の正規化振動モード、

$\text{重}_m(x) = C_m g_m(x)$ 、 $\bar{w}_m$ :  $m$ 次のモードに対する動的たわみ、 $d\bar{w}$ : 動的たわみ $\sum_{m=1}^{\infty} \bar{w}_m$ 、 $s\bar{w}$ : 静的たわみ $\sum_{m=1}^{\infty} s\bar{w}_m$ 、ここで $\bar{w}_m = s\bar{w} \cdot \bar{w}_m$ とおき、 $\bar{w}_m$ を $s\bar{w}$ で無次元化し、さらに $\omega_m = (\omega/\omega_1)$ とおくとつぎの方程式が得られる。

$$\ddot{\bar{w}}_m + \omega_m^2 \bar{w}_m^2 \bar{w}_m = \omega_m^2 \bar{w}_m^2 \cdot \text{重}_m (x=\pi/2) / \text{重}_m (x=x_i) \quad \cdots \cdots \cdots (2)$$

(2) 式で $\text{重}_m(x-\pi/2)$ の $n$ 次成分 $b_{mn} \sin(n\pi x_0 t/l) = b_{mn} \sin n\omega_m t (\pi x_0/l = \omega_m \text{とおく})$ とすれば、(2)式は、つぎのようになる。 $\ddot{\bar{w}}_m + \omega_m^2 \bar{w}_m^2 \bar{w}_m = \omega_m^2 \bar{w}_m^2 \sum_{n=1}^{\infty} b_{mn} \sin n\omega_m t / g_m(x=x_i) \quad \cdots \cdots \cdots (2')$ よ、 $\omega_m$ 次の動的倍率および全動的倍率は、それらは(3)式、(4)式で表わされる。

$$\bar{w}_m = \sum_{n=1}^{\infty} \frac{b_{mn} \int \sin n\omega_m t - (\frac{1}{\omega_m})(\omega/\omega_1) \sin(\omega/\omega_1) \bar{w}_m \omega_m t}{\left\{ 1 - \left(\frac{n}{\omega_m}\right)^2 \cdot \left(\frac{\omega}{\omega_1}\right)^2 \right\} \cdot g_m(x=x_i)} \quad \cdots \cdots \cdots (3)$$

$$\frac{d\bar{w}}{s\bar{w}} = \frac{\bar{w}_1 + \bar{w}_2 \cdot \left(\frac{1}{\omega_1}\right)^2 \cdot \left(\frac{\omega}{\omega_1}\right)^2 \cdot \left(\frac{\omega}{\omega_1}\right)^2 / \left(\frac{\omega}{\omega_1}\right)^2 + \cdots \cdots \cdots}{1 + \left(\frac{1}{\omega_1}\right)^2 \cdot \left(\frac{\omega}{\omega_1}\right)^2 / \left(\frac{\omega}{\omega_1}\right)^2 + \cdots \cdots \cdots} \quad \cdots \cdots \cdots (4)$$

従って固有振動数の比が一定、たわみの振動モードの比が一定である場合には、動的倍率は(4)式で求まる。

## 計算例

T, K, G, A の各橋の支間はそれぞれ 139.2 m, 59.2 m, 62.0 m, 157.0 m である。

その固有振動数比を表-2に、たわみの影響線のうち、 $y_{44}, y_{55}, y_{66}, y_{77}$  の値を表-3に示す。このよううランガーブリッジでは、たわみは、終点よりも、始点のはうで大きいことが知られる。

応答倍率の計算では、K橋の固有振動数比をと、た。K橋の振動モードを図-2に示す。

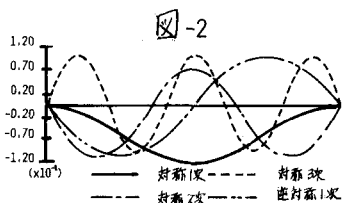


図-2

橋名	$y_{44}, \%$	$y_{55}, \%$
T	3.70	1.68
K	0.89	0.57
G	0.64	0.40
A	2.00	1.43

表-2 ( $\text{cm}/10^3$ )

橋名	110 ラム - タ		
	0.03	0.06	0.09
T	9.6	19.3	28.9
K	10.0	20.0	30.0
G	8.9	17.8	26.7
A	10.1	20.2	30.3

表-3 ( $\text{m/sec}$ )

このようにして、 $\frac{1}{4}$ 点について、静的たわみに対する全動的たわみ（ここでは、対称、逆対称とも3次までの和をとった全動的たわみと呼ぶ）の倍率を、 $10^{\circ}\text{ラメータ} 0.03, 0.06, 0.09, 0.12, 0.14$ について図示したものが、図-3(A)である。また静的たわみに対する動的たわみの倍率の最大値を、対称1次、対称2次、逆対称1次、および全動的たわみに対して、 $10^{\circ}\text{ラメータ} 0.0 \sim 1.0$ まで、とて、図示したものが、図-3(B)である。 $\frac{1}{4}$ 点も同様な計算をおこなって、図-4(A)および図-4(B)に示した。（ $\frac{1}{2}$ 点では、逆対称振動はきかない。）K橋では、 $10^{\circ}\text{ラメータ} 0.03$ では、荷重速度  $10.0 \text{ m/sec}$ ,  $0.06$ では、 $20.0 \text{ m/sec}$ ,  $0.09$ で  $30.0 \text{ m/sec}$ 、となる。他の3橋でも表-3に示すようにほぼ同じような速度となる。

### 計算結果および考察

$\frac{1}{4}$ 点について、 $10^{\circ}\text{ラメータ} 0.03$ のとき、静的たわみに対する動的たわみの倍率の最大値は、対称1次、対称2次、逆対称1次について、それぞれ2.10倍、1.35倍、1.07倍となり、いる。しかし、対称1次、対称2次、逆対称1次との全動的たわみに対してしめる割合は、それぞれ、11.5%, 10.1%, 76.6%となり、逆対称1次がよく効いている。このことは図-3(B)において、逆対称1次と全動的たわみの倍率曲線が、よく似ていることからもいえる。 $10^{\circ}\text{ラメータ}$ を大きくとていけば、さて、たわみ比は小さくなる、いく。

$\frac{1}{2}$ 点については、 $10^{\circ}\text{ラメータ} 0.03$ のとき、静的たわみに対する動的たわみの倍率は、その最大値が、対称1次で1.01倍、対称2次で、1.45倍となる。全動的たわみに対してしめる割合は、対称1次で84.0%，対称2次で12.9%となり、対称1次がよく効いている。このことは図-4(B)で、対称1次と全動的たわみの倍率曲線が、よく似ていることからもいえる。図-4(B)から、 $\frac{1}{4}$ 点と同様に、 $10^{\circ}\text{ラメータ}$ が大きくなると、倍率は減少する。 $\frac{1}{4}$ 点に比べて、最大値は小さく、減少も小さい。

ここでとりあげたランガーブリッジの $\frac{1}{4}$ 点と $\frac{1}{2}$ 点のたわみの影響線については、先に述べたように $\frac{1}{4}$ 点が $\frac{1}{2}$ 点よりも大きいが5、單一走行力によるランガーブリッジの振動では、 $\frac{1}{4}$ 点のたわみ応答に主目することが重要であると考えられる。

G橋、T橋の資料で、同様な計算を行なうと、K橋と同じようす結果が得られた。

### 参考文献

- 吉村・平井：ランガーブリッジの動的解析。土木学会論文集101号, S.39.1
- 吉村他：直路ランガーブリッジの載荷試験。土木学会施45-5, S.35.5, 3)
- 日本直路公团商賈社：工事報告 天草五橋 S.42.5
- 小坪清真：土木振動学。森北出版 S.48.4
- 吉村・長尾・江藤：補剛アーチ橋の有重10%の動的要素の構成および走行荷重応答倍率。48年度土木学会研究発表会論文集

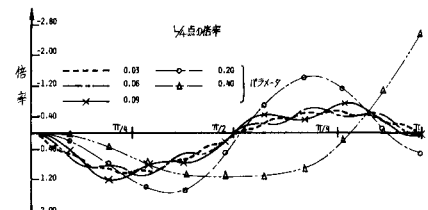


図-3(A)

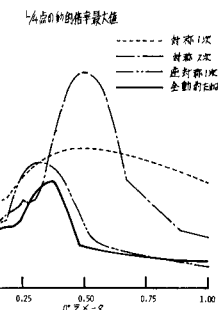


図-3(B)

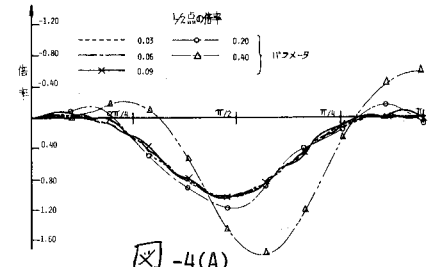


図-4(A)

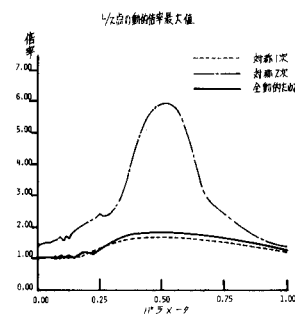


図-4(B)